

О ВОЗБУЖДЕННЫХ СОСТОЯНИЯХ НЕПРЯМОГО ЭКСИТОНА В ГЕРМАНИИ

В. Н. Мурзин

УДК 505.349 - 537.3II.33

На основании теории групп рассмотрены типы симметрии основных и возбужденных состояний непрямого экситона в германии. Из сопоставления с ранее предложенной приближенной моделью непрямого экситона в германии сделаны выводы о том, какие переходы в спектре могут оказаться особенно важными.

Субмиллиметровая спектроскопия экситонов в диапазоне волн, соответствующем их энергии связи /1,2/, позволяет получить наиболее полную информацию об энергетическом спектре экситонов в таких полупроводниках, как германий. Предложенная с целью идентификации наблюдаемых линий экситонного поглощения приближенная модель непрямого экситона в Ge /1/ удовлетворительно описала в главных чертах экспериментальные результаты /1 - 3/. Однако, использованное в этой модели пренебрежение недиагональными членами в дырочном гамильтониане привело к искусенному повышению симметрии системы и к появлению дополнительного вырождения уровней.

В настоящей работе дан анализ энергетического спектра непрямого экситона в Ge, основанный на теории симметрии. В результате сопоставления с приближенной моделью /1/ высказаны соображения о том, какие из переходов могут оказаться наиболее важными в эксперименте.

Группой симметрии уравнения Шредингера для непрямого экситона в Ge

$$H_{ex}^{\Psi} \Psi_{ex} = E \Psi_{ex}, \text{ где } H_{ex} = H_e(\vec{p}_e) - H_h(\vec{p}_h) - \frac{e^2}{z(\vec{r}_e - \vec{r}_h)} \quad (I)$$

является пересечение группы D_{3d} гамильтониана электрона $H_e(\vec{p}_e)$ вблизи дна зоны проводимости в германии и группы O_h гамильтониана дырки $H_h(\vec{p}_h)$ вблизи верха валентной зоны (e^- - заряд

электрона, ε - диэлектрическая проницаемость герmania) /4 - 6/. Поскольку группа D_{3d} является подгруппой группы O_h , то она и определяет симметрию всего уравнения.

Экситонные волновые функции, определяющие в приближении эффективной массы собственные решения системы в группе D_{3d} , имеют вид

$$\Psi_{ex} = \sum_{i=1}^4 \varphi_e(\vec{r}_e) \varphi_h^{(i)}(\vec{r}_h) F_{eh}^{(i)}(\vec{r}_e - \vec{r}_h), \quad (2)$$

где φ_e и φ_h - блоховские функции электрона и дырок вблизи экстремумов, i - индекс вырождения валентной зоны, F_{eh} - огибающая функция. Нижняя ветвь валентной зоны Ge, отщепленная в результате спин-орбитального взаимодействия, не учитывается. Количество и тип симметрии собственных состояний экситона определяются прямым произведением неприводимых представлений блоховских и огибающей функций /7/:

$$D(\Psi_{ex}) = D(\varphi_e) \times D(\varphi_h) \times D(F_{eh}). \quad (3)$$

Как известно /4 - 6/, блоховские функции электрона вблизи минимума [III] в Ge преобразуются в группе D_{3d} по представлению L_1 ^{*}. Представление L_8^+ дырок в группе O_h оказывается приводимым в группе D_{3d} и распадается на два неприводимых представления L_6^+ и $(L_4^+ + L_5^+)$, что соответствует двум разным типам дырочных волновых функций. Функции L_4^+ и L_5^+ являются крамерово-сопряженными относительно инверсии времени и объединены в одно "физически" неприводимое представление. Далее рассматриваются так называемые s - и p -состояния экситона, в том смысле, что огибающая функция F_{eh} для них записывается в виде ряда сферических гармоник атомных функций четности, начинавшегося соответственно либо с функцией s -типа ($l = 0$), либо с функцией p -типа ($l = 1$). Такое разбиение состояний экситона оправдано особенностями задачи /4 - 6/, а сами собственные решения, с точки зрения их симметрии, могут быть легко определены по первому члену разложения, так как при приме-

*). Здесь и далее применяются обозначения, используемые в работах /9, 10/.

нении операций симметрии каждый из членов разложения Ψ_{ex} должен преобразовываться точно так же, как и полная функция Ψ_{ex} /8/.

Такой расчет по формуле (3) был выполнен, причем учитывалось, что атомные функции s- и p-типов в группе D_{3d} преобразуются по неприводимым представлениям $D(F^S) = L_1 \otimes D(F^P) = L_2^-(z) + L_3^-(x,y)$ /7/. В скобках указаны базисные функции. В результате для экситонов, образованных дырками типа L_6^+ , получено, что основное (s-типа) и возбужденные (p-типа) состояния описываются представлениями:

$$\begin{aligned} D_{L_6^+}(\Psi_{\text{ex}}^S) &= D(\varphi_e) \times D(\varphi_h^{L_6}) \times D(F^S) = L_1 \times L_6^+ \times L_1 = L_6^+ \\ D_{L_6^+}(\Psi_{\text{ex}}^P) &= D(\varphi_e) \times D(\varphi_h^{L_6}) \times D(F^P) = L_1 \times L_6^+ \times [L_2^-(z) + L_3^-(x,y)] = \\ &= L_6^-(z) + L_6^-(x,y) + (L_4^- + L_5^-)(x,y), \end{aligned} \quad (4)$$

а для экситона, образованного дырками типа $(L_4^+ + L_5^+)$ – представлениями:

$$\begin{aligned} D_{(L_4^+ + L_5^+)}(\Psi_{\text{ex}}^S) &= D(\varphi_e) \times D(\varphi_h^{L_4+L_5}) \times D(F^S) = L_1 \times (L_4^+ + L_5^+) \times L_1 = (L_4^+ + L_5^+) \\ D_{(L_4^+ + L_5^+)}(\Psi_{\text{ex}}^P) &= D(\varphi_e) \times D(\varphi_h^{L_4+L_5}) \times D(F^P) = \\ &= L_1 \times (L_4^+ + L_5^+) \times [L_2^-(z) + L_3^-(x,y)] = (L_4^- + L_5^-)(z) + 2L_6^-(x,y). \end{aligned} \quad (5)$$

Индексы базисных представлений огибающих функций сохранены в соответствующих производных представлениях. Таким образом, видно, что каждый из этих двух типов экситонов имеет одно основное и три возбужденных (p-типа) состояний. Все уровни без учета спина электрона дважды вырождены (см. рис. I).

Из соображений симметрии нетрудно показать, что s→p переходы между этими уровнями разрешены правилами отбора. Однако, в результате сопоставления с приближенной моделью /1/ можно сделать некоторые выводы о том, какие из этих переходов могут оказаться в эксперименте наиболее важными. Согласно приближенной модели уравнение Шредингера для непрямого экситона в Ge распадается на

а уравнения, каждое из которых определяется своим типом дырок эффективными поперечной и продольной массами: $m_{1h}^T = m_0 / (\gamma_1 - \gamma_3)$, $m_{1h} = m_0 / (\gamma_1 + 2\gamma_3)$ и $m_{2h}^T = m_0 / (\gamma_1 + \gamma_3)$, $m_{2h} = m_0 / (\gamma_1 - 2\gamma_3)$.

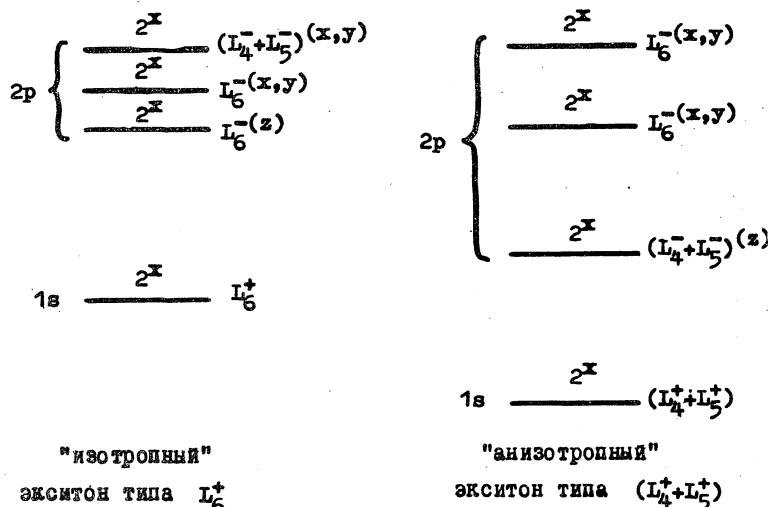


Рис. I

и двум уравнениям соответствуют два набора уровней для двух новых экситонов, условно названных "изотропным" и "анизотропным", которые различаются разными трансляционными и приведенными массами (табл. I) /I, II/. Поскольку это приближение с точки зрения орбит симметрии эквивалентно тому, что блоховским функциям для дырок прописывается более высокая симметрия типа L_1 , такая же, как у электронов, то нетрудно установить соответствие между уровнями $2p_{1/2}$ и $2p_{1/2}$ приближенной модели /I/ и возбужденными уровнями, соответственно, с индексами (z) и (x,y) настоящего анализа (см. выражения (4) и (5)). Видно, что уровни $2p_{1/2}$ приближенной модели оказываются дублетно расщепленными. Естественно полагать, что переходы на возбужденные состояния, соответствующие уровням типа $2p_{1/2}$, как и в случае мелких донорных имесей, должны быть наиболее интенсивными.

Наконец, можно высказать еще одно соображение, связанное с тем, что "изотропный" и "анизотропный" экситоны имеют различные трансляционные массы, т.е. характеризуются разной диспер-

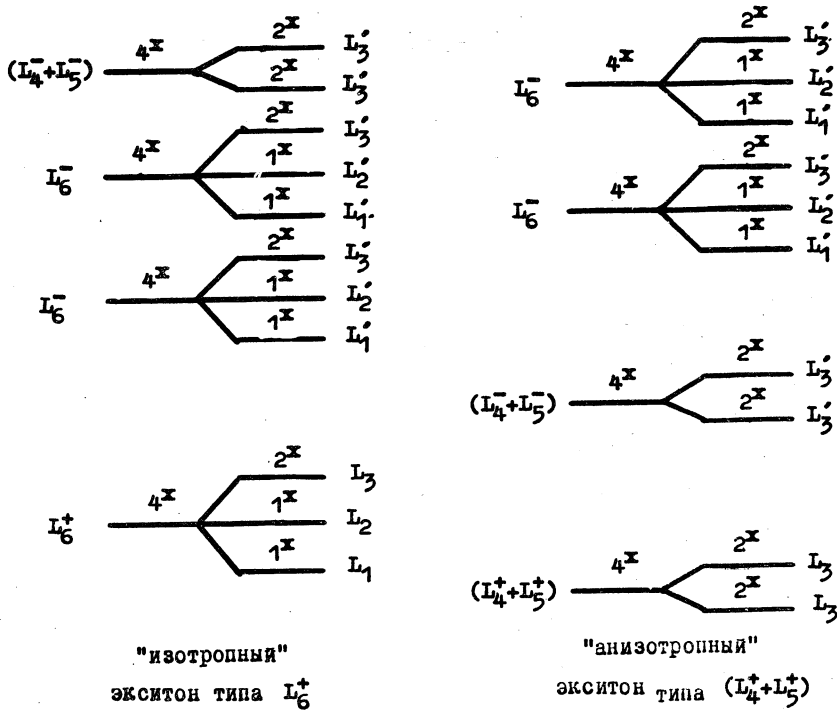


Рис. 2

слей $E(\vec{p})$ энергетических зон /I, II/ (см. табл. I). Можно думать, что линии, обусловленные перекрестными переходами, должны быть размазаны по спектру при конечных температурах и используемых уровнях возбуждения, и экситонные спектры поглощения должны определяться в первую очередь переходами внутри каждой из серий уровней "изотропного" и "анизотропного" экситонов. Возможно, некоторые из перекрестных переходов могут проявиться при понижении температуры.

Таблица I

Параметры приближенной модели непрямого
экспонента в германик /I/

Тип экспонента	Эффективная масса дырок		Эффективная масса экспонентов			
			трансляционная масса	приведенная масса	$m_{ex}^{-1} = m_e^{-1} + m_h^{-1}$	$m_{ex}^T = m_e^T + m_h^T$
	m_h^T	m_h^L	m_{ex}^T	m_{ex}^L	m_{ex}^T	m_{ex}^L
"изотропный" экспонент типа L_6^+	0,130	0,04	0,211	1,628	0,050	0,039
"анизотропный" экспонент типа $(L_4^+ + L_5^+)$	0,052	0,500	0,134	2,088	0,032	0,380

Учет спина электрона, как известно, приводит к расщеплению уровней экспонента в результате обменного взаимодействия. Это расщепление в случае Ge весьма незначительно /6, 12/. На рис. 2 приведена качественная схема обменного расщепления для возбужденных состояний экспонента в Ge. В расчетах представление $D(\varphi_e) = L_1$ для электронной блоховской функции заменилось представлением $D(\varphi_e) = L_6^+$ в соответствующей двойной группе симметрии, описывающей спин электрона /10/.

Автор признателен Л. А. Шелепину, В. С. Виноградову и Л. Кононенко за обсуждение результатов работы.

Поступила в редакцию
30 июня 1976 г.

Л и т е р а т у р а

1. Н. В. Гузеев, В. А. Заяц, В. Л. Кононенко, Т. С. Мандельштам, В. Н. Мурзин. ФТП, 8, 1633 (1974).
2. Е. М. Гершензон, Г. Н. Гольцман, Н. Г. Птицына. ЖЭТФ, 70, 224 (1976).
3. В. И. Гавриленко, В. Л. Кононенко, Т. С. Мандельштам, В. Н. Мурзин. Краткие сообщения по физике ФИАН, № 12, 9 (1975).
4. T. P. McLean, R. Loudon. J. Phys. Chem. Sol., 13, 1 (1960).
5. N. O. Lipari, A. Baldereschi. Phys. Rev., B2, 2497 (1971).
6. Г. А. Зверева, В. П. Макаров. ФТТ, 17, 3270 (1975).
7. В. Хейне. Теория групп в квантовой механике, ИЛ, Москва, 1963 г.
8. D. Schechter. J. Phys. Chem. Sol., 23, 237 (1962).
9. G. F. Koster. Sol. St. Phys., 5, 174 (1957).
10. R. J. Elliott. Phys. Rev., 96, 280 (1954).
11. A. Frova, G. A. Thomas, R. E. Miller, E. O. Kane. Phys. Rev. Lett., 34, 1572 (1975).
12. Y. Abe. J. Phys. Soc. Japan, 19, 818 (1964).